

## 부하 모델 차이에 따른 전력계통 안정도 해석 결과 변화에 대한 평가

김봉희\*  
명지전문대학

### An Evaluation on Change in Power System Stability Analysis Result due to Difference in Load Model

Bong-Hee Kim  
Myongji College

**Abstract** - 본 논문에서는 플랜트 설계 단계에서 안정도 해석을 행함에 있어 부하모델의 차이가 안정도 해석 결과에 미치는 영향을 비교 평가하였다.

플랜트 부하의 대부분인 유도전동기 모델을 달리 적용함에 따라 안정도 해석 시 최대 허용 고장제거시간이 매우 다르게 나타난다는 것을 보여 주었다. 또한 유도전동기의 모델 표현을 달리함에 따라 고장제거 후 모선의 전압회복 특성과 전동기 속도 회복 특성이 매우 달라짐을 보여 주면서 산업플랜트 보호계전 시스템 설계를 위한 안정도 해석 시 유도전동기 모델 적용방법에 있어 유의하여 할 사항을 제시하였다.

## 1. 서 론

컴퓨터 기술의 발달로 복잡한 상업용 또는 산업용 전력계통의 해석을 이전보다 쉽게 접근할 수 있게 되고 있다. 전력계통 안정도 해석을 위한 상업용 프로그램이 개인용 컴퓨터로 옮겨진 뒤 도스 버전으로부터 시작하여 윈도우 버전으로 업그레이드되면서 MMI가 더욱 잘 구축되고 있으므로 전력계통에 대한 깊은 학문적 지식이나 경험에 부족한 기술자들도 안정도해석 업무를 그린대로 수행하고는 있으나 모델적용의 중요성을 간과하는 수가 있다. [1], [2]

상업용 전력계통 (commercial or bulk power system) 은 그 대상이 초고압 망 계통을 대상으로 하므로 각종 부하의 개별적 특성을 자세히 고려하지 않는다. 그러나 산업용 전력계통 (industrial power system)은 그 대상이 전력회사의 초고압 수전점으로부터 지역발전기를 포함하는 고, 저압 계통의 플랜트 부하를 그 대상으로 하므로 자연히 부하의 개별적 특성을 자세히 분석하여야 한다.

본 논문에서는 플랜트 설계과정 중 필수 해석 내용 중의 하나인 전력계통 안정도 해석을 행함에 있어 적용 가능한 부하 모델의 종류를 열거한 뒤, 그 부하모델의 차이가 안정도해석 결과에 어떤 영향을 미치는지 비교 평가하고 설계 적용 시 유의할 사항을 제시하고자 한다.

## 2. 본 론

### 2.1 부하 모델의 종류

#### 2.1.1 일반적 부하 모델

전력계통의 부하는 각 모선별로 constant power (S), constant impedance(Z), constant current(I) 중 하나 또는 이들 중의 조합으로 이루어진다. [3]

$$S/S_i = (V/V_i)^k$$

여기서 S : constant power k=0

I : constant current k=1

Z : constant impedance k = 2

S<sub>i</sub>: initial power

$$V_i : \text{initial voltage}$$

더 일반적인 모델은 유효 무효전력을 구분하여

$$P+jQ = P_i (V/V_i)^{k1} + Q_i (V/V_i)^{k2} \quad (1)$$

으로 표현한다.

여러 종류의 부하 그룹은 다음과 같이 다항식으로 표현된다.

$$P+jQ = P_i [A + B(V/V_i) + C(V/V_i)^2] \\ + j Q_i [D + E(V/V_i) + F (V/V_i)^2] \quad (2)$$

부하에 대한 주파수 영향을 고려하기 위하여 (3)식을 적용한다.

$$P+jQ = P_i (1 + G \Delta f) + j Q_i (1 + H \Delta f) \quad (3)$$

상기 (1), (2), (3)식은 전력회사 망 계통의 안정도 해석에 주로 사용되는 데 각 모선의 부하특성을 정확히 알 수 없으므로 A부터 H까지의 계수를 구하기 어렵다. 참고 문헌 [4], [5], [6]에서 연구하여 왔으나 계수의 정확한 표현에는 한계가 있으며 부하의 정확한 계수의 동특성 해석을 요하는 산업용 전력계통 설계에 적용하기는 어렵다.

#### 2.1.2 유도전동기 모델

플랜트 부하의 대부분은 유도전동기이므로 과도기간의 유도전동기의 동특성을 자세히 파악하여 설계에 적용하여야 하므로 모델을 자세히 다룰 필요가 있다. 유도전동기의 기계적, 전기적 방정식은 다음과 같다. [7]

$$\frac{dE}{dt} = \frac{-1}{Tdo'} [E - j(Xoc - Xlr)] - j2\pi fSE$$

$$\frac{dS}{dt} = \frac{1}{2H} (Pm - Pe) + D \omega_m$$

E : machine internal voltage

S : machine slip in pu

Tdo' : rotor open circuit time constant in seconds

$$= (Xr + Xm)/2\pi f Rr$$

Xlr : lock rotor reactance in pu

$$= Xs + Xm Xr/(Xm + Xr)$$

Xoc : open circuit reactance in pu

$$= Xs + Xm$$

f : system frequency (Hz)

Pm : mechanical power in pu

Pe : electrical input power in pu

It : mechanical terminal current in pu

D : damping factor

$\omega_m$  : motor speed in pu

유도전동기의 모델은 그 복잡도의 정도에 따라 축약등가모델(EQV), 등가회로 모델(CKT), 이중농형 등가회로 모델(DBL)을 모델로 구분한다.

EQV는 농형 유도전동기를 표현하기 위하여 테브난 등가회로를 사용한다. 회전자 R, X는 모터의 모든 속도에 대해 일정하다.

- case 2 : 고장제거시간 0.345 초, 등가회로모델 적용

계산 결과를 보면 같은 고장제거 시간에서 constant kVA 모델을 적용하는 경우는 계통이 안정하나 CKT 모델 적용 시는 계통이 불안정하게 계산됨을 알 수 있다.

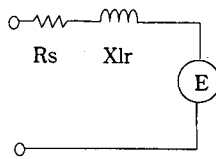


그림 1 축약등가 모델 (EQV)

CKT는 유도전동기의 표준 모델로서 고정자회로, 회전자 회로, 및 여자회로를 포함한다. 모터 속도 변화에 따라 저항과 리액坦스가 변한다.

$$Xr = [Xrlr (S-Sr) / Xrlf + 1 - S] Xrlf / (1-Sr)$$

$$Rr = [Rrlr (S-Sr) / Rrlf + 1 - S] Rrlf / (1-Sr)$$

$$Sr = \text{slip at rated speed}$$

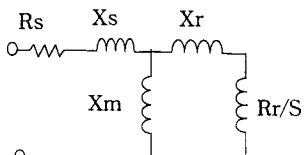


그림 2. 등가회로 모델 (CKT)

DBL은 각 농형의 저항과 리액坦스는 모든 속도에 대해 일정하다. 그러나 2개의 회전자회로의 등가 임피단스는 모터속도에 대해 비선형이다.

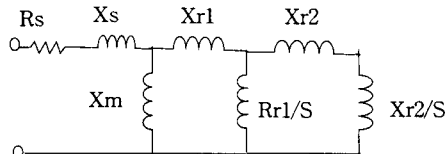


그림 3. 이중 농형 모델 (DBL)

## 2.2 사례연구

플랜트 내의 유도전동기 부하 모델 표현을 달리함에 따른 안정도 해석 결과의 차이를 비교 평가하기 위하여 다음과 같은 사례연구를 하였다.

### 2.2.1 사례 대상 계통

사례 연구에 사용된 전력계통은 중동지방의 실제 발전 플랜트 설계에 사용된 시스템으로서 3개의 가스터빈 발전기와 발전기 별로 각각 연결된 400/15kV 승압변압기, 15/6.9kV 소내 보조 변압기, 6.6/0.4kV 소내 배전용 변압기로 구성된다. 각 6.6kV 와 0.44 kV 모선에는 소내 보조기기와 유도전동기가 연결되어 있다. 간략한 단선도는 그림4와 같다. [8]

### 2.2.2 최대 허용 고장제거 시간

안정도 해석 시 계통 보호계전 시스템의 적정성을 확인하기 위하여 최대 허용 고장제거시간 ( critical fault clearing time )을 계산하여야 한다. 발전기 단에 3상 단락사고가 발생하였을 경우 유도전동기를 constant kVA 모델과 등가회로 모델을 적용하였을 때 각각의 고장제거시간의 차이를 해석하여 비교하였다.

- case 1 : 고장제거시간 0.345 초, constant KVA model 적용

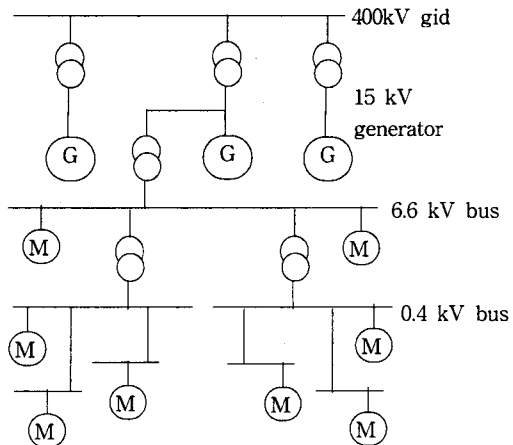


그림 4. Simplified One Line Diagram

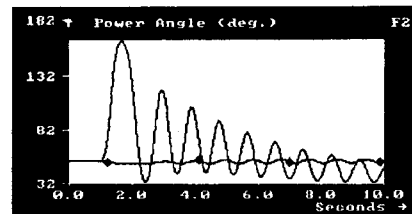


그림 5. case 1 constant kVA model 적용 시 위상각

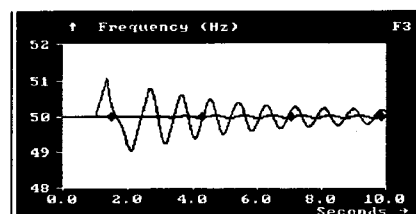


그림 6. case 2 constant kVA model 적용 시 주파수

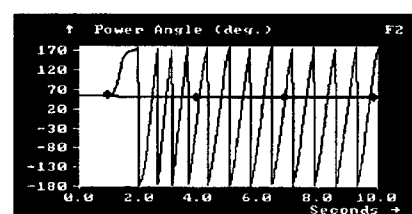


그림 7. case 2 등가회로 model 적용 시 위상각

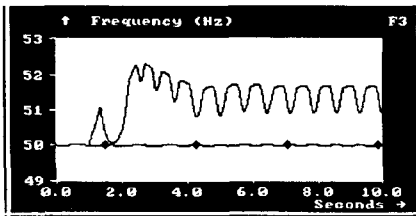


그림 8. case 2 등가회로 model 적용 시 주파수

### 2.2.3 유도전동기의 동특성 비교

플랜트 내 모선의 단락사고 발생 및 고장제거 시 유도 전동기는 제 기동하여 많은 돌입전류를 흐르게 하므로 이에 의한 전압변동과 전동기의 회생여부를 확인하여 아보호계전 시스템 등 관련 설계를 정확히 할 수 있다. 발전소 구내의 6.6kV 모선 단락사고 시 유도전동기 모델의 차이에 따른 동특성 차이를 해석하여 비교하였다.

- case 3 : 고장제거시간 0.344 초, EQV 모델 적용
  - case 4 : 고장제거시간 0.344 초, CKT 모델 적용
  - case 5 : 고장제거시간 0.344 초, DBL 모델 적용
- 계산 결과의 비교하면 다음과 같다.

#### DYE model 적용 시 :

전압회복  $t=2\text{sec}$ 에서  $V=0.987 \text{ pu}$

max. slip = 16.86 % max. cur. = 1368.8 A

#### DYC model 적용 시 :

전압회복  $t=2\text{sec}$ 에서  $V=0.908 \text{ pu}$

max. slip = 16.09 % max. cur. = 1570.4 A

#### DBL model 적용 시 :

전압회복  $t=2\text{sec}$ 에서  $V=0.822 \text{ pu}$

slip = 모터 정지(die) max. cur. = 1589.7 A

이 결과에서 보는 바와 같이 유도전동기의 모델 표현을 달리함에 따라 고장제거 후 모선의 전압회복 특성과 전동기 속도 회복 특성이 매우 달라진다. 플랜트의 전압 계전기와 단락 보호계전기의 설계 기준과 방법을 선정함에 있어 안정도 해석을 위한 유도전동기 모델링의 정확성에 신중을 기하여야 한다는 것을 알 수 있다.

### 3. 결 론

본 논문에서는 프랜트 설계 단계에서 안정도 해석을 행함에 있어 부하모델의 차이가 안정도 해석 결과에 미치는 영향을 비교 평가하였다.

플랜트 부하의 대부분인 유도전동기 모델을 달리 적용함에 따라 안정도 해석 시 최대 허용 고장제거시간이 매우 다르게 나타난다는 것을 보여 주었다. 또한 유도전동기의 모델 표현을 달리함에 따라 고장제거 후 모선의 전압회복 특성과 전동기 속도 회복 특성이 매우 달라짐을 보여 주었다.

동특성 해석 결과를 산업플랜트의 보호계전 시스템 설계 기준 설정에 적용하고자 할 때, 유도전동기 모델 적용에 있어 정확성을 기하여야 보호계전 시스템 설계 상 오류를 범하지 않을 수 있음을 보여 주었다.

### (참 고 문 헌)

- [1] SKM Analysis, Inc. "Power Tools for Windows", May 1988.
- [2] Operation Technology Inc., "Electrical Transient Analyzer Program Computer User Guide" 1983-1994.
- [3] Koepfinger and et. al. "IEEE Recommended Practice for Industrial and Commercial Power Systems

Analysis", p. 61 - p. 114, 1990.

[4] Kent, M.H., et al. "Dynamic Modelling of Loads in the Stability Studies", IEEE Trans. PAS, May 1969.

[5] Iliceto, F., and et al. "Behaviour of Loads During Voltage Dips Encountered in Stability Studies - Field and Laboratory Tests", IEEE Trans. PAS, May/Apr 1973.

[6] IEEE COMMITTEE REPORT, "System Load Dynamics - Simulation Effects and Determination of Load Constants", IEEE Trans. PAS, Mar/Apr 1973.

[7] Arrillaga, J. and et al., "Computer Modelling of Electrical Power Systems", p. 265 - p. 271, John Wiley & Sons, 1983.

[8] 김봉희, "Transient Stability Study and Station Start Study for the Repowering of Jebel Ali Power and Desalination Plant D Phase II, Dubai Electricity and Water Authority", 명지전문대학 산업기술연구소 보고서, 2000년 3월.

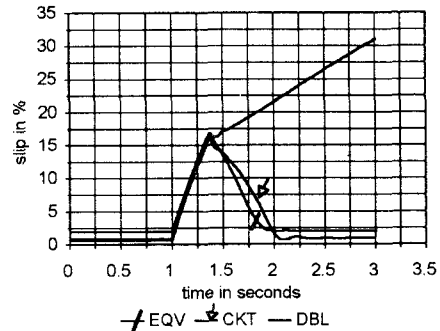


그림 9. 유도전동기 slip 비교

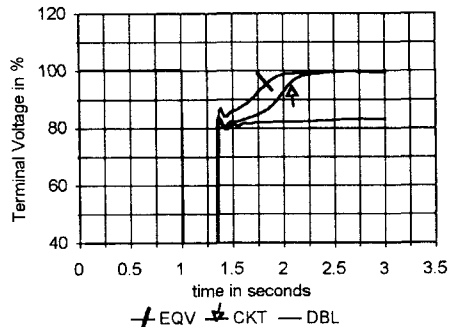


그림 10. 유도전동기 단자전압 비교

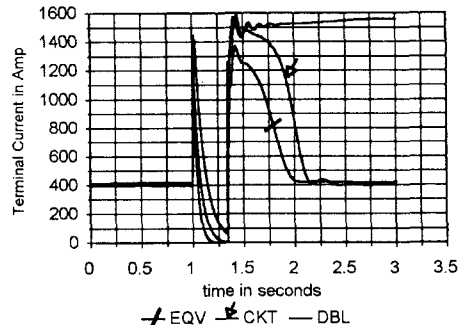


그림 11. 유도전동기의 단자전류 비교